

# Вычисление магнитной восприимчивости двумерной двухрешеточной модели Хаббарда в приближении статических флуктуаций

© Г.И. Миронов

Марийский государственный педагогический институт,  
424002 Йошкар-Ола, Россия

E-mail: mir@mmpi.mari.ru

(Поступила в Редакцию 29 июля 2004 г.)

В приближении статических флуктуаций вычисляется поперечная динамическая восприимчивость в двумерной двухрешеточной модели Хаббарда. Исследуется поведение статической магнитной восприимчивости в зависимости от различных параметров системы. В частном случае одномерной модели Хаббарда проводится сравнение с результатом точного решения.

В [1,2] была разработана методика решения модели Хаббарда [3] в приближении статических флуктуаций. В [4] вычислена и исследована энергия основного состояния двумерной двухрешеточной модели Хаббарда [5]. Сравнение полученных в [4] результатов с точным решением одномерной модели Хаббарда [6] показало, что приближение статических флуктуаций довольно адекватно передает поведение системы, описываемой гамильтонианом Хаббарда, как в области слабых, так и в области сильных корреляций. В [4] показано, что пределах  $U = 0$  и  $U = \infty$  энергии основного состояния в приближении статических флуктуаций [1,2] и в случае точного решения [6] совпадают, в области промежуточных значений  $U$  имеется хорошее согласие с точным решением. Это позволяет сделать вывод о том, что приближение статических флуктуаций хорошо работает как при слабых, так и при промежуточных и сильных корреляциях, что особенно важно в случае слоистых купратов [5].

Цель настоящей работы — вычисление и исследование поперечной динамической восприимчивости двумерной модели Хаббарда в приближении статических флуктуаций.

Исследованию магнетизма в модели Хаббарда посвящено большое число работ (см., например, [7–15]). Теория ферромагнетизма в модели коллективизированных электронов в рамках приближения молекулярного поля была развита Стонером [13]. Но оказалось, что при конечных температурах теория Стонера не дает последовательного описания всех физических свойств магнитных переходных металлов. Развитие теории Стонера связано с использованием Хаббардом [3] расщепления запаздывающих функций Грина и применением приближения случайных фаз [7]. Однако и применение этих методов не устранило основные недостатки теории Стонера, возникающие при описании магнитных и термодинамических свойств при конечных температурах.

Дальнейший прогресс в вычислении восприимчивости связан с использованием диаграммной техники для операторов Хаббарда [14,15]. Эта техника является обобщением диаграммной техники [16–19] для спиновых операторов локализованных магнитных моментов.

Если в случае локализованных электронов обоснование диаграммного анализа не вызывает сложностей (можно, например, с учетом кондовских аномалий [20] вычислить поперечную динамическую восприимчивость связанной системы коллективизированных и локализованных электронов с точностью до третьего порядка по константе  $s-d$ -обменного взаимодействия) [21,22], то в случае модели Хаббарда диаграммная техника как четкий геометрический алгоритм не построена и структура диаграммных рядов не выяснена [8]. Например, „известен способ, которым можно было бы априори получить графические ряды, не связанные с какой-либо определенной системой старшинств“ [8]. В последнее время для исследования восприимчивости в модели Хаббарда интенсивно используется численный анализ с помощью квантового метода Монте-Карло (см. [11]). Но во многих случаях необходимо иметь аналитические решения для восприимчивости, поэтому вычисление динамической восприимчивости представляет собой актуальную задачу, особенно если учесть, что появились новые эксперименты, требующие объяснения [23,24].

Гамильтониан  $B-B'-U$  двумерной двухрешеточной модели Хаббарда (в отличие от стандартной модели Хаббарда по аналогии с [5] полагается, что решетка состоит из двух подрешеток, построенных из атомов разных сортов; кроме того, учитывается переход электронов на второй по близости соседний атом кристаллической решетки) имеет вид

$$H = H_0 + V, \quad (1)$$

$$H_0 = \sum_{\sigma, f \in A} \left( \varepsilon_1 + \frac{1}{2} \sigma \omega_{e1} \right) n_{f\sigma} + \sum_{\sigma, l \in C} \left( \varepsilon_2 + \frac{1}{2} \sigma \omega_{e2} \right) n_{l\sigma} + \sum_{\sigma, f, l} B_{fl} (a_{f\sigma}^+ a_{l\sigma} + a_{l\sigma}^+ a_{f\sigma}) + \sum_{\sigma, l', l} B_{l'l} a_{l'\sigma}^+ a_{l\sigma}, \quad (2)$$

$$V = \frac{U_1}{2} \sum_{\sigma, f \in A} n_{f\sigma} n_{f\bar{\sigma}} + \frac{U_2}{2} \sum_{\sigma, l \in C} n_{l\sigma} n_{l\bar{\sigma}}, \quad (3)$$

где  $a_{j\sigma}^+, a_{j\sigma}$  — Ферми-операторы рождения и уничтожения электронов на узле  $j$  ( $j = f, l$ ) решетки со спином  $\sigma$ ;  $n_{f\sigma} = a_{f\sigma}^+ a_{f\sigma}$ ;  $\varepsilon_1(\varepsilon_2)$  — собственная энергия

электрона на узле подрешетки  $A(C)$ ;  $B_{f'l} = B(f-l)$ ,  $B_{l'l} = B(l'-l)$  — интегралы переноса, описывающие перескоки электронов от атома к атому за счет кинетической энергии и кристаллического поля на ближайший соседний узел и на второй ближайший соседний узел по диагонали квадрата соответственно;  $\bar{\sigma} = -\sigma$ ;  $\omega_{e1}, \omega_{e2}$  — зеемановские частоты электронов разных подрешеток;  $U_1(U_2)$  — энергия кулоновского отталкивания двух электронов, находящихся на узле подрешетки  $A(C)$ . Для того чтобы приблизить поведение системы, описываемой гамильтонианом (1), к ситуации, возникающей при движении дырок на плоскостях  $\text{CuO}_2$  в ВТСП-соединениях, полагается, что лишь электроны одной подрешетки (по аналогии с кислородом на плоскостях  $\text{CuO}_2$ ) могут переноситься по диагонали квадрата на узлы этой же подрешетки (подчеркнем, что нами для простоты рассуждений рассматривается гипотетическая квадратная решетка).

Магнитное возбуждение электронов представим операторами

$$S_a^-(p, q) = a_{p\downarrow}^+ a_{p+q\uparrow}, \quad S_b^-(p, q) = b_{p\downarrow}^+ b_{p+q\uparrow}.$$

Здесь электрон с волновым вектором  $p+q$  и спином вверх ( $\uparrow$ ) возбуждается в состояние с волновым вектором  $p$  и спином вниз ( $\downarrow$ ), индекс  $a$  относится к подрешетке  $A$ , индекс  $b$  — к подрешетке  $C$ . Если операторы спиновой плотности выразить в представлении Гейзенберга

$$S_a^-(p, q, \tau) = \exp(H\tau) a_{p\downarrow}^+ a_{p+q\uparrow} \exp(-H\tau),$$

будем иметь следующее уравнение движения:

$$\begin{aligned} \frac{d}{d\tau} a_{p\downarrow}^+ a_{p+q\uparrow} &= -\omega_{e1} a_{p\downarrow}^+ a_{p+q\uparrow} + B(p) b_{p\downarrow}^+ a_{p+q\uparrow} \\ &- B(p+q) a_{p\downarrow}^+ b_{p+q\uparrow} + \frac{2U_1}{N} \sum_{k_2, k} a_{k+p-k_2\downarrow}^+ a_{p+q\uparrow} a_{k_2\uparrow}^+ a_{k\uparrow} \\ &- \frac{2U_1}{N} \sum_{k_1, k} a_{k+k_1-p-q\downarrow}^+ a_{k_1\downarrow} a_{p\downarrow}^+ a_{k\uparrow}, \end{aligned} \quad (4)$$

где  $B(p) = -2B(\cos(p_x a) + \cos(p_y a))$ ; подобным образом можно выразить и  $B(p+q)$ . Аналогично записываются уравнения движения для операторов  $b_{p\downarrow}^+ a_{p+q\uparrow}$ ,  $a_{p\downarrow}^+ b_{p+q\uparrow}$  и  $b_{p\downarrow}^+ b_{p+q\uparrow}$ .

Рассмотрим последние слагаемые в дифференциальном уравнении (4). В теории Стонера [13], которая основывается на приближении Хартри-Фока, ограничиваются вкладом [7]

$$\begin{aligned} \frac{2U_1}{N} \sum_{k_2, k} a_{k+p-k_2\downarrow}^+ a_{p+q\uparrow} a_{k_2\uparrow}^+ a_{k\uparrow} \\ - \frac{2U_1}{N} \sum_{k_1, k} a_{k+k_1-p-q\downarrow}^+ a_{k_1\downarrow} a_{p\downarrow}^+ a_{k\uparrow} \\ = \frac{2U_1}{N} \sum_k (\langle n_{k\uparrow} \rangle - \langle n_{k\downarrow} \rangle) a_{p\downarrow}^+ a_{p+q\uparrow} \\ = 2U_1 S_a^+ a_{p+q\uparrow} = 2U_1 S S_a^-(p, q). \end{aligned} \quad (5)$$

В (5) введено понятие спина  $S$  следующим образом:

$$2S = 2\langle S_z \rangle = \frac{2}{N} \sum_k (\langle n_{k\uparrow} \rangle - \langle n_{k\downarrow} \rangle).$$

Выделим в последних двух слагаемых в (4) по аналогии с [1,2] оператор флуктуации проекции спина. В результате получим

$$\begin{aligned} \frac{d}{d\tau} a_{p\downarrow}^+ a_{p+q\uparrow} &= (-2S U_1 - \omega_{e1}) a_{p\downarrow}^+ a_{p+q\uparrow} + B(p) b_{p\downarrow}^+ a_{p+q\uparrow} \\ &- B(p+q) a_{p\downarrow}^+ b_{p+q\uparrow} - 2U_1 \Delta S a_{p\downarrow}^+ a_{p+q\uparrow}, \end{aligned} \quad (6)$$

где  $\Delta S$  — оператор флуктуации спина,

$$\Delta S = \frac{1}{N} \sum_k (n_{k\uparrow} - n_{k\downarrow}) - \frac{1}{N} \sum_k (\langle n_{k\uparrow} \rangle - \langle n_{k\downarrow} \rangle).$$

Гейзенберговские операторы представим следующим образом [1,2]:

$$S^-(p, q, \tau) = \exp(H_0 \tau) \tilde{S}^-(p, q, \tau) \exp(-H_0 \tau), \quad (7)$$

где

$$\begin{aligned} \tilde{S}^-(p, q, \tau) &= \exp(-H_0 \tau) \exp(H\tau) S^-(p, q, 0) \\ &\times \exp(-H\tau) \exp(H_0 \tau). \end{aligned} \quad (8)$$

Представление гейзенберговских операторов в виде (7) будем условно называть представлением „типа представления взаимодействия“. Отметим, что гамильтониан  $H_0$  в (7) — это тот же гамильтониан  $H_0$ , что и в (1), с учетом перенормировки

$$\varepsilon \rightarrow \varepsilon + U \left( \frac{1}{2} - \sigma S \right).$$

В этом случае получим систему двух дифференциальных уравнений для определения неизвестного оператора (8) и оператора  $\Delta S \tilde{S}^-(p, q, \tau)$

$$\begin{aligned} \frac{d}{d\tau} \tilde{S}_a^-(p, q, \tau) &= -2U_1 \Delta \tilde{S} \tilde{S}_a^-(p, q, \tau), \\ \frac{d}{d\tau} \Delta \tilde{S} \tilde{S}_a^-(p, q, \tau) &= 4S U_1 \Delta \tilde{S} \tilde{S}_a^-(p, q, \tau) \\ &- 2U_1 \Phi^2 \tilde{S}_a^-(p, q, \tau), \end{aligned} \quad (9)$$

где мы ввели обозначение  $\Phi^2 = 1/4 - S^2$ , а также при получении системы уравнений (9) учли, что для опе-

ратора флуктуации проекции спина  $\Delta\tilde{S}(\tau) = \exp(-H_0\tau) \times \Delta S(\tau) \exp(H_0\tau)$  выполняется равенство

$$\frac{d}{d\tau}\Delta\tilde{S}(\tau) = 0,$$

поэтому  $\Delta\tilde{S}(\tau) = \Delta S(0) = \Delta S$ , причем  $(\Delta S)^2 = \Phi^2 - 2S\Delta S$ . Последняя формула легко доказывается, если оператор числа частиц выразить через оператор флуктуации спина и воспользоваться равенством  $n_{f\sigma}^2 = n_{f\sigma}$ .

Решение системы дифференциальных уравнений (8) для оператора  $\tilde{S}_a^-(p, q, \tau)$  имеет вид

$$\tilde{S}_a^-(p, q, \tau) = \exp(2U_1S\tau) \{ S_a^-(p, q, 0) [\text{ch}(U_1\tau) - 2S \text{sh}(U_1\tau)] - 2\Delta S S_a^-(p, q, 0) \text{sh}(U_1\tau) \}. \quad (10)$$

Тогда общее решение дифференциального уравнения (4) будет иметь вид

$$\begin{aligned} S_a^-(p, q, \tau) &= \exp(H_0\tau) \tilde{S}_a^-(p, q, \tau) \exp(-H_0\tau) \\ &= \exp(2U_1S\tau) \left\{ \tilde{S}_a^-(p, q, \tau) [\text{ch}(U_1\tau) - 2S \text{sh}(U_1\tau)] - 2\Delta S(0) \tilde{S}_a^-(p, q, \tau) \text{sh}(U_1\tau) \right\}, \end{aligned} \quad (11)$$

где  $\tilde{S}_a^-(p, q, \tau) = \exp(H_0\tau) S_a^-(p, q, 0) \exp(-H_0\tau)$ .

Решив систему четырех дифференциальных уравнений, можно получить решения для операторов спиновой плотности

$$\begin{aligned} \bar{S}_a^-(k, q, \tau) &= \frac{1}{4} \left\{ \left[ a_{p\downarrow}^+ a_{p+q\uparrow}(0) \left( 1 - \frac{\varepsilon_{2\downarrow} - \varepsilon_{1\downarrow}}{2t_p} \right) \left( 1 + \frac{\varepsilon_{2\uparrow} - \varepsilon_{1\uparrow}}{2t_{p+q}} \right) - a_{p\downarrow}^+ b_{p+q\uparrow}(0) \left( 1 - \frac{\varepsilon_{2\downarrow} - \varepsilon_{1\downarrow}}{2t_p} \right) \frac{B_{p+q}}{t_{p+q}} + b_{p\downarrow}^+ a_{p+q\uparrow}(0) \right. \right. \\ &\times \left. \frac{B_p}{t_p} \left( 1 + \frac{\varepsilon_{2\uparrow} - \varepsilon_{1\uparrow}}{2t_{p+q}} \right) - b_{p\downarrow}^+ b_{p+q\uparrow}(0) \frac{B_p B_{p+q}}{t_p t_{p+q}} \right] e^{(t_p+t_{p+q})\tau} + \left[ a_{p\downarrow}^+ a_{p+q\uparrow}(0) \left( 1 - \frac{\varepsilon_{2\downarrow} - \varepsilon_{1\downarrow}}{2t_p} \right) \left( 1 - \frac{\varepsilon_{2\uparrow} - \varepsilon_{1\uparrow}}{2t_{p+q}} \right) \right. \\ &+ a_{p\downarrow}^+ b_{p+q\uparrow}(0) \frac{B_{p+q}}{t_{p+q}} \left( 1 - \frac{\varepsilon_{2\downarrow} - \varepsilon_{1\downarrow}}{2t_p} \right) + b_{p\downarrow}^+ a_{p+q\uparrow}(0) \frac{B_p}{t_p} \left( 1 - \frac{\varepsilon_{2\uparrow} - \varepsilon_{1\uparrow}}{2t_{p+q}} \right) + b_{p\downarrow}^+ b_{p+q\uparrow}(0) \frac{B_p B_{p+q}}{t_p t_{p+q}} \left. \right] e^{(t_p-t_{p+q})\tau} \\ &+ \left[ a_{p\downarrow}^+ a_{p+q\uparrow}(0) \left( 1 + \frac{\varepsilon_{2\downarrow} - \varepsilon_{1\downarrow}}{2t_p} \right) \left( 1 + \frac{\varepsilon_{2\uparrow} - \varepsilon_{1\uparrow}}{2t_{p+q}} \right) - a_{p\downarrow}^+ b_{p+q\uparrow}(0) \left( 1 + \frac{\varepsilon_{2\downarrow} - \varepsilon_{1\downarrow}}{2t_p} \right) \frac{B_{p+q}}{t_{p+q}} - b_{p\downarrow}^+ a_{p+q\uparrow}(0) \right. \\ &\times \left. \frac{B_p}{t_p} \left( 1 + \frac{\varepsilon_{2\uparrow} - \varepsilon_{1\uparrow}}{2t_{p+q}} \right) - b_{p\downarrow}^+ b_{p+q\uparrow}(0) \frac{B_p B_{p+q}}{t_p t_{p+q}} \right] e^{(-t_p+t_{p+q})\tau} + \left[ a_{p\downarrow}^+ a_{p+q\uparrow}(0) \left( 1 + \frac{\varepsilon_{2\downarrow} - \varepsilon_{1\downarrow}}{2t_p} \right) \left( 1 - \frac{\varepsilon_{2\uparrow} - \varepsilon_{1\uparrow}}{2t_{p+q}} \right) \right. \\ &+ a_{p\downarrow}^+ b_{p+q\uparrow}(0) \left( 1 + \frac{\varepsilon_{2\downarrow} - \varepsilon_{1\downarrow}}{2t_p} \right) \frac{B_{p+q}}{t_{p+q}} - b_{p\downarrow}^+ a_{p+q\uparrow}(0) \frac{B_p}{t_p} \left( 1 - \frac{\varepsilon_{2\uparrow} - \varepsilon_{1\uparrow}}{2t_{p+q}} \right) - b_{p\downarrow}^+ b_{p+q\uparrow}(0) \frac{B_p B_{p+q}}{t_p t_{p+q}} \left. \right] \\ &\times \left. e^{(-t_p-t_{p+q})\tau} e^{\frac{1}{2}(-\omega_{e1}-\omega_{e2}+J_p-J_{p+q}+2S(U_2-U_1))\tau} \right\}, \end{aligned} \quad (12)$$

где

$$\varepsilon_{1\sigma} = \varepsilon_1 + \frac{1}{2} \omega_{e1} + \left( \frac{1}{2} + \sigma S \right) U_1,$$

$$\varepsilon_{2\sigma} = \varepsilon_2 + \frac{1}{2} \omega_{e2} + \left( \frac{1}{2} - \sigma S \right) U_2 + J_{p+q} \delta_{\uparrow, \sigma} + J_p \delta_{\downarrow, \sigma},$$

$$t_p = \sqrt{\left( \frac{\varepsilon_{2\downarrow} - \varepsilon_{1\downarrow}}{2} \right)^2 + B_p^2},$$

$$t_{p+q} = \sqrt{\left( \frac{\varepsilon_{2\uparrow} - \varepsilon_{1\uparrow}}{2} \right)^2 + B_{p+q}^2},$$

$$J_p = -4B' \cos(p_x a) \cos(p_y a),$$

$$J_{p+q} = -4B' \cos((p_x + q_x) a) \cos((p_y + q_y) a).$$

Аналогичное выражение можно получить для оператора спиновой плотности  $\bar{S}_b^-(k, q)$ . Подставляя полученное выражение для  $\bar{S}_a^-(k, q)$  в формулу (11), получим

общее решение для оператора  $S_a^-(p, q, \tau)$ . Подобная процедура проводится для оператора  $S_b^-(p, q, \tau)$ . Имея эти решения, вычислим поперечную динамическую восприимчивость электронов подрешеток A и C.

Поперечная динамическая восприимчивость определяется следующим образом:

$$\begin{aligned} \chi^{+-}(q, \omega) &= i \int_0^\infty dt e^{-i\omega t} \sum_{p, p'} \langle [ S_a^-(p, q, t) \\ &+ S_b^-(p, q, t), S_a^+(p', -q, 0) + S_b^+(p', -q, 0) ] \rangle. \end{aligned} \quad (13)$$

Используя формулу (11) и решение для  $S_b^-(p, q, \tau)$ , можно получить выражение для поперечной динамической восприимчивости, которое весьма громоздко. Применительно к случаю высокотемпературной сверхпроводимости нас в первую очередь интересует случай сильных корреляций. Показано [2], что в этом случае  $S = 1/2$ . В частном случае сильных корреляций и  $n = 1$  получим следующее выражение для суммарной попереч-

ной восприимчивости системы:

$$\begin{aligned}
 \chi^{+-}(q, \omega) &= \chi_{aa}^{+-}(q, \omega) + \chi_{ab}^{+-}(q, \omega) + \chi_{ba}^{+-}(q, \omega) + \chi_{bb}^{+-}(q, \omega) \\
 &= \sum_p \sum_{\beta, \gamma} \frac{1}{4} \left\{ \frac{(\langle n_{p\downarrow}^a \rangle - \langle n_{p+q\uparrow}^a \rangle) \left[ \left(1 - \frac{\varepsilon_{2\downarrow} - \varepsilon_{1\downarrow}}{2\beta t_p}\right) \left(1 + \frac{\varepsilon_{2\uparrow} - \varepsilon_{1\uparrow}}{2\gamma t_{p+q}}\right) - \beta \gamma \frac{B_p}{t_p} \frac{B_{p+q}}{t_{p+q}} \right]}{\omega - \beta t_p - \gamma t_{p+q} + \frac{1}{2}(\omega_{e1} + \omega_{e2} + U_1 - U_2 - J_p + J_{p+q})} \right. \\
 &\quad + \frac{(\langle a_{p+q\uparrow}^+ b_{p+q\uparrow} \rangle - \langle a_{p\downarrow}^+ b_{p\downarrow} \rangle) \left[ \left(1 - \frac{\varepsilon_{2\downarrow} - \varepsilon_{1\downarrow}}{2\beta t_p}\right) \frac{B_{p+q}}{\gamma t_{p+q}} - \left(1 - \frac{\varepsilon_{2\uparrow} - \varepsilon_{1\uparrow}}{2\gamma t_{p+q}}\right) \frac{B_p}{\beta t_p} \right]}{\omega - \beta t_p - \gamma t_{p+q} + \frac{1}{2}(\omega_{e1} + \omega_{e2} + U_1 - U_2 - J_p + J_{p+q})} \\
 &\quad + \frac{(\langle b_{p+q\uparrow}^+ a_{p+q\uparrow} \rangle - \langle b_{p\downarrow}^+ a_{p\downarrow} \rangle) \left[ \left(1 + \frac{\varepsilon_{2\downarrow} - \varepsilon_{1\downarrow}}{2\beta t_p}\right) \frac{B_{p+q}}{\gamma t_{p+q}} - \left(1 + \frac{\varepsilon_{2\uparrow} - \varepsilon_{1\uparrow}}{2\gamma t_{p+q}}\right) \frac{B_p}{\beta t_p} \right]}{\omega - \beta t_p - \gamma t_{p+q} + \frac{1}{2}(\omega_{e1} + \omega_{e2} + U_1 - U_2 - J_p + J_{p+q})} \\
 &\quad \left. + \frac{(\langle n_{p\downarrow}^b \rangle - \langle n_{p+q\uparrow}^b \rangle) \left[ \left(1 + \frac{\varepsilon_{2\downarrow} - \varepsilon_{1\downarrow}}{2\beta t_p}\right) \left(1 - \frac{\varepsilon_{2\uparrow} - \varepsilon_{1\uparrow}}{2\gamma t_{p+q}}\right) - \beta \gamma \frac{B_p}{t_p} \frac{B_{p+q}}{t_{p+q}} \right]}{\omega - \beta t_p - \gamma t_{p+q} + \frac{1}{2}(\omega_{e1} + \omega_{e2} + U_1 - U_2 - J_p + J_{p+q})} \right\}. \quad (14)
 \end{aligned}$$

В формуле (14)  $\alpha$  и  $\beta$  принимают два значения:  $\alpha = +1, -1$ ;  $\beta = +1, -1$ .  $\chi_{aa}^{+-}(q, \omega)$  и  $\chi_{bb}^{+-}(q, \omega)$  являются динамическими откликами электронных подсистем А и С соответственно;  $\chi_{ab}^{+-}(q, \omega)$ ,  $\chi_{ba}^{+-}(q, \omega)$  описывают перенос намагниченности от одной электронной подсистемы к другой.

Вычисление корреляционных функций в числителе поперечной динамической восприимчивости (14) производится в приближении статических флуктуаций аналогичным образом. В результате получим ( $n = 1, S = 1.2$ ; см., например, [1,2,4])

$$\begin{aligned}
 \langle n_{p\downarrow}^a \rangle &= \frac{1}{2} \left[ \left(1 - \frac{\varepsilon_{2\downarrow} - \varepsilon_{1\downarrow}}{2t_p}\right) f^+ \left( \frac{\varepsilon_{1\downarrow} + \varepsilon_{2\downarrow}}{2} + t_p \right) \right. \\
 &\quad \left. + \left(1 + \frac{\varepsilon_{2\downarrow} - \varepsilon_{1\downarrow}}{2t_p}\right) f^+ \left( \frac{\varepsilon_{1\downarrow} + \varepsilon_{2\downarrow}}{2} - t_p \right) \right],
 \end{aligned}$$

$$\begin{aligned}
 \langle n_{p+q\uparrow}^a \rangle &= \frac{1}{2} \left[ \left(1 - \frac{\varepsilon_{2\uparrow} - \varepsilon_{1\uparrow}}{2t_{p+q}}\right) f^+ \left( \frac{\varepsilon_{1\uparrow} + \varepsilon_{2\uparrow}}{2} + t_{p+q} \right) \right. \\
 &\quad \left. + \left(1 + \frac{\varepsilon_{2\uparrow} - \varepsilon_{1\uparrow}}{2t_{p+q}}\right) f^+ \left( \frac{\varepsilon_{1\uparrow} + \varepsilon_{2\uparrow}}{2} - t_{p+q} \right) \right], \quad (15)
 \end{aligned}$$

$$\begin{aligned}
 \langle n_{p\downarrow}^b \rangle &= \frac{1}{2} \left[ \left(1 + \frac{\varepsilon_{2\downarrow} - \varepsilon_{1\downarrow}}{2t_p}\right) f^+ \left( \frac{\varepsilon_{1\downarrow} + \varepsilon_{2\downarrow}}{2} + t_p \right) \right. \\
 &\quad \left. + \left(1 - \frac{\varepsilon_{2\downarrow} - \varepsilon_{1\downarrow}}{2t_p}\right) f^+ \left( \frac{\varepsilon_{1\downarrow} + \varepsilon_{2\downarrow}}{2} - t_p \right) \right],
 \end{aligned}$$

$$\begin{aligned}
 \langle n_{p+q\uparrow}^b \rangle &= \frac{1}{2} \left[ \left(1 + \frac{\varepsilon_{2\uparrow} - \varepsilon_{1\uparrow}}{2t_{p+q}}\right) f^+ \left( \frac{\varepsilon_{1\uparrow} + \varepsilon_{2\uparrow}}{2} + t_{p+q} \right) \right. \\
 &\quad \left. + \left(1 - \frac{\varepsilon_{2\uparrow} - \varepsilon_{1\uparrow}}{2t_{p+q}}\right) f^+ \left( \frac{\varepsilon_{1\uparrow} + \varepsilon_{2\uparrow}}{2} - t_{p+q} \right) \right], \quad (16)
 \end{aligned}$$

$$\begin{aligned}
 \langle a_{p\downarrow}^+ b_{p\downarrow} \rangle &= \langle b_{p\downarrow}^+ a_{p\downarrow} \rangle = \frac{B_p}{2t_p} \\
 &\quad \times \left[ f^+ \left( \frac{\varepsilon_{1\downarrow} + \varepsilon_{2\downarrow}}{2} + t_p \right) - f^+ \left( \frac{\varepsilon_{1\downarrow} + \varepsilon_{2\downarrow}}{2} - t_p \right) \right],
 \end{aligned}$$

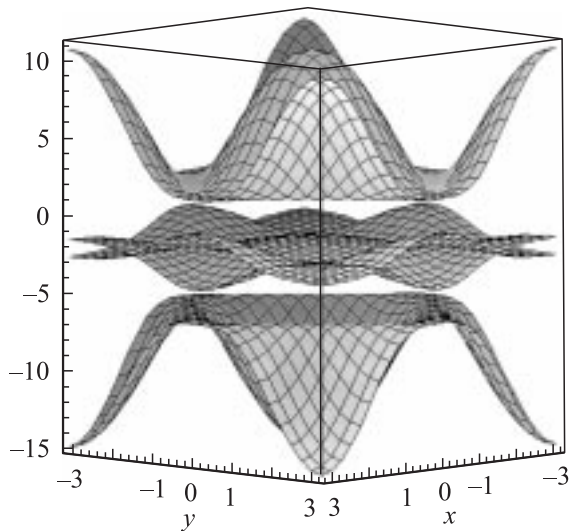
$$\begin{aligned}
 \langle a_{p+q\uparrow}^+ b_{p+q\uparrow} \rangle &= \langle b_{p+q\uparrow}^+ a_{p+q\uparrow} \rangle \\
 &= \frac{B_{p+q}}{2t_{p+q}} \left[ f^+ \left( \frac{\varepsilon_{1\uparrow} + \varepsilon_{2\uparrow}}{2} + t_{p+q} \right) - f^+ \left( \frac{\varepsilon_{1\uparrow} + \varepsilon_{2\uparrow}}{2} - t_{p+q} \right) \right], \quad (17)
 \end{aligned}$$

где  $f^+(x) = 1/(1 + \exp(\beta x))$  — фермиевское распределение.

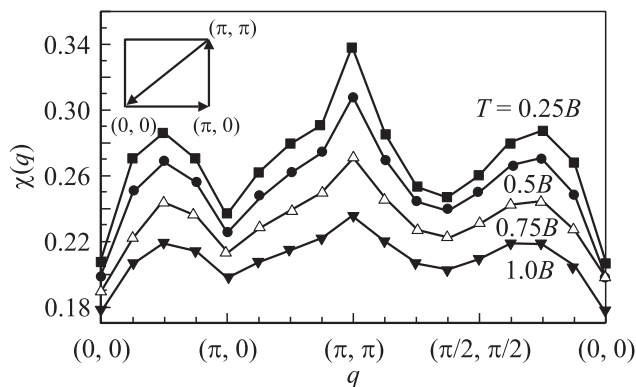
Отметим, что, например, из равенства (15) следует, что в случае больших значений кулоновского потенциала (по сравнению с энергией переноса)  $S = 1/2$ . Подставляя (15)–(17) в формулу (14), приходим к окончательному выражению для поперечной динамической восприимчивости системы, характеризующейся гамильтонианом Хаббарда.

Представляет интерес исследование полюсов динамической восприимчивости („спектра коллективных возбуждений“ модели Хаббарда), определяемой формулой (14). На рис. 1 приведен „спектр коллективных возбуждений“. При указанных значениях параметров этот спектр представляет собой зону, состоящую из четырех подзон, причем две центральные подзоны пересекаются и образуют единую подзону, так что можно говорить о наличии трех подзон. Спектр на рис. 1 свидетельствует, по-видимому, о наличии антиферромагнитного упорядочения в двумерной модели Хаббарда.

Интересно также рассмотреть поведение статической магнитной восприимчивости как функции величины  $q$ . В работе [11] было проведено численное исследование статической магнитной восприимчивости  $\chi(q, 0)$  как функции  $q$  в случае точно наполовину заполненной зоны



**Рис. 1.** Энергетический спектр (знаменатель поперечной восприимчивости) при значениях параметров  $S = 1/2$ ,  $q = (\pi, \pi)$ ,  $U_1 = 6 \text{ eV}$ ,  $U_2 = 2 \text{ eV}$ ,  $B = 1.5 \text{ eV}$ ,  $B' = -0.3B$ ,  $n = 1$ .



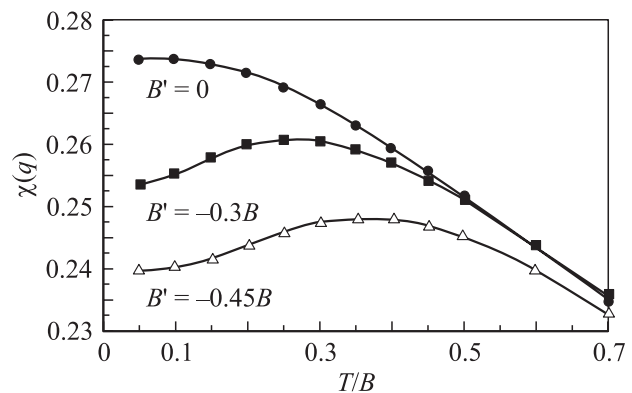
**Рис. 2.** Статическая магнитная восприимчивость  $\chi(q, 0)$  как функция  $q$  при различных значениях температуры  $T$ .  $S = 1/2$ ,  $B = 1.5 \text{ eV}$ ,  $U_1 = 6 \text{ eV}$ ,  $U_2 = 2 \text{ eV}$ ,  $B' = -0.3B$ .

для решетки  $8 \times 8$ . Расчеты показали, что  $\chi(q, 0)$  имеет резкий пик при значении вектора  $q = (\pi, \pi)$ . С уменьшением температуры высота пика увеличивается. На рис. 2 представлен график зависимости статической магнитной восприимчивости от вектора антиферромагнитной волны  $q$  для различных значений температуры  $T$  в пределах первой зоны Бриллюэна. В соответствии с результатами численного анализа восприимчивость имеет максимум в точке  $q = (\pi, \pi)$ . С уменьшением температуры высота пика увеличивается, а ширина пика становится меньше. Кроме того, в отличие от данных [11] исследуемая зависимость имеет немонотонный характер. Можно выделить точки локальных экстремумов (см. для сравнения рис. 3.2а при температуре  $T = 0.33B$  в работе [11]).

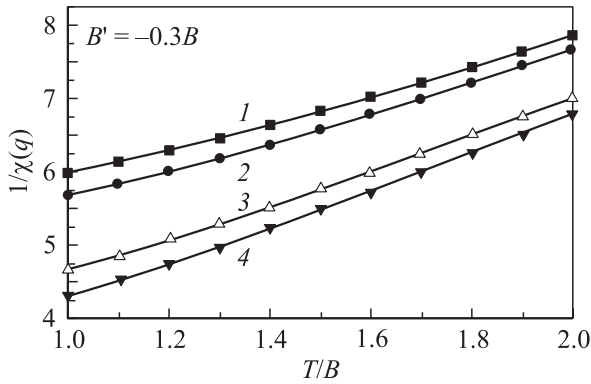
В [23] показано, что в таких системах, как  $\text{La}_2\text{CuO}_4$ , допированных Li, при низких температурах статическая магнитная восприимчивость значительно отклоняется от закона Кюри–Вейсса. В частности, при низких тем-

пературах происходит увеличение восприимчивости с ростом температуры. Затем, пройдя через максимум, восприимчивость плавно спадает (см., например, рис. 3 в [23]). Такое поведение можно объяснить [23] в рамках представления спинового стекла. Покажем, что при определенных условиях аналогичное поведение возможно и в модели Хаббарда при низких температурах. На рис. 3 приведены зависимости статической восприимчивости от температуры ( $T/B$ ) для различных значений величины интеграла переноса по диагонали квадрата при значении волнового вектора  $q = (\pi/2, \pi/2)$ . Из анализа рис. 3 следует, что учет интеграла переноса по диагонали квадрата  $B'$  приводит к резкому изменению поведения  $\chi(q)$  при понижении температуры. При учете  $B'$  на графике зависимости  $\chi(q)$  появляется максимум, причем чем больше по абсолютной величине  $B'$ , тем большей температуре соответствует максимум восприимчивости. Если система находится в режиме сильных корреляций, учет интеграла переноса  $B'$  в случае  $B' < 0$  ( $B > 0$ ) способствует делокализации электронов и как следствие приводит к уменьшению значения намагниченности по сравнению со случаем  $B' = 0$ . Если исходить из того, что в модели Хаббарда происходит конкуренция между процессами локализации и делокализации (коллективизации), то доля паулиевской восприимчивости при учете  $B'$  будет больше по сравнению со случаем, когда  $B' = 0$ . Таким образом, наличие пика в экспериментальной работе [23] можно объяснить не только с помощью представления спинового стекла, но и зависимостью статической восприимчивости от интеграла переноса по диагонали квадрата при определенном значении  $q$  в случае низких температур.

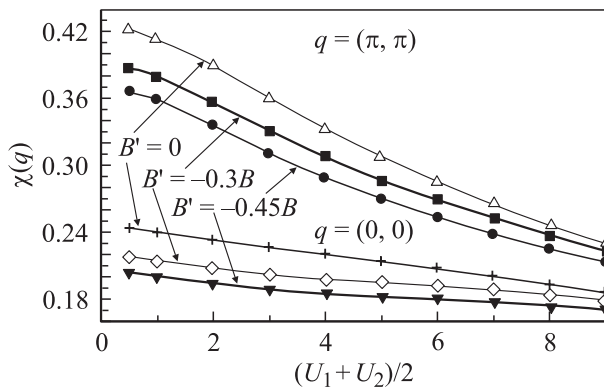
В [24] были представлены зависимости статической восприимчивости от температуры для различных значений кулоновского потенциала  $U$ . Для сравнения результатов, которые получаются на основании наших вычислений, с результатом работы [24] мы построили зависимость обратной восприимчивости от температуры (рис. 4) для разных значений кулоновских потенциалов.



**Рис. 3.** Зависимость статической магнитной восприимчивости  $\chi(q, 0)$  от температуры при  $q = (\pi/2, \pi/2)$ ,  $U_1 = 6 \text{ eV}$ ,  $U_2 = 2 \text{ eV}$ ,  $B = 1.5 \text{ eV}$ ,  $S = 1/2$ ,  $\epsilon_1 = -3 \text{ eV}$ ,  $\epsilon_2 = -1 \text{ eV}$  для различных  $B'$ .



**Рис. 4.** Обратная восприимчивость как функция температуры при различных значениях кулоновских потенциалов и волнового вектора. 1 —  $U_1 = 8 \text{ eV}$ ,  $U_2 = 4 \text{ eV}$ ,  $q = (0, 0)$ ; 2 —  $U_1 = 6 \text{ eV}$ ,  $U_2 = 3 \text{ eV}$ ,  $q = (0, 0)$ ; 3 —  $U_1 = 8 \text{ eV}$ ,  $U_2 = 4 \text{ eV}$ ,  $q = (\pi, \pi)$ ; 4 —  $U_1 = 6 \text{ eV}$ ,  $U_2 = 3 \text{ eV}$ ,  $q = (\pi, \pi)$ .



**Рис. 5.** Магнитная восприимчивость как функция кулоновского потенциала при различных значениях волнового вектора  $q$  и интеграла переноса  $B'$ .  $T = 0.5B$ .

Видно, что качественно результаты совпадают. Что касается количественных характеристик, то они также совпадают по порядку величины; с увеличением температуры восприимчивость убывает (обратная восприимчивость возрастает). Графики приближаются к прямым линиям. Полученный результат отвечает кюри-вейссовскому поведению ( $\chi \sim 1/(T + \Theta)$  с  $\Theta > 0$ ), так что (по крайней мере в пределах указанного интервала  $U$ ) невозможен переход в ферромагнитное состояние. Анализ рис. 4 показывает, что величина обратной восприимчивости зависит от  $q$  (ср. с рис. 1).

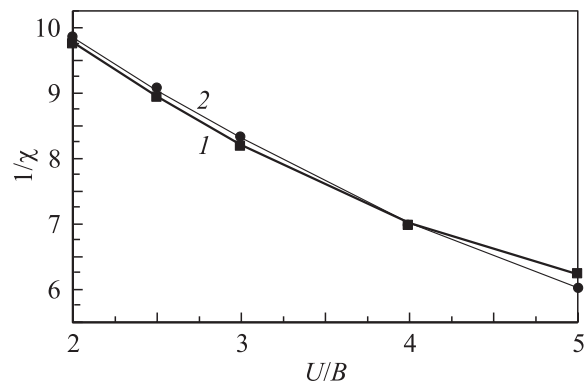
Представляет интерес поведение статической магнитной восприимчивости в зависимости от величины кулоновского потенциала  $(U_1 + U_2)/2$  для различных значений волнового вектора и интеграла переноса  $B'$  при постоянной температуре (рис. 5). Из анализа кривых на рис. 5 следует, что статическая восприимчивость зависит как от величины кулоновского потенциала, так и от интеграла переноса  $B'$  и величины  $q$ .

Как отмечалось выше, приближение статических флуктуаций позволило вычислить энергию основного состояния модели Хаббарда. Сравнение полученных результатов в частном случае одномерной модели Хаббарда с точным решением [6] показало, что в пределах слабых и сильных корреляций решение, найденное в приближении статических флуктуаций, совпало с точным решением [6]. В области промежуточных корреляций значения энергии основного состояния довольно близки [4]. Для того чтобы решить, насколько адекватно выражение (14) описывает поведение восприимчивости, необходимо провести сравнение с результатами точных вычислений. В [25] получено точное решение одномерной модели Хаббарда в магнитном поле. Работа [25] является логическим продолжением точного решения как [6], так и [26] — точного решения одномерной модели Хаббарда при температуре  $T \neq 0$ . На рис. 6 приведены графики зависимости обратной статической восприимчивости, полученной в случае точного решения, и обратной статической восприимчивости, найденной из (14) в приближении случайных фаз (с точностью до „нормировочной константы“) [7],

$$\chi_{\text{гра}}(q) = \chi(q, 0)/(1 - 0.5U\chi(q, 0)).$$

Из анализа графиков приведенных зависимостей следует, что качественно поведение обратной статической восприимчивости, вычисленной точно и в приближении статических флуктуаций, одинаково. Отметим, что при расчетах мы полагали, что спин  $S = 1/2$ . Если воспользоваться зависимостью спина от величины кулоновского потенциала (рис. 4 в работе автора [2]), то совпадение хода кривых будет более точным.

Таким образом, приведенная в работах [1,2,4] методика решения модели Хаббарда в приближении статических флуктуаций позволяет вычислить наряду с функциями Грина и энергией основного состояния и



**Рис. 6.** Зависимость обратной восприимчивости одномерной модели Хаббарда от величины кулоновского потенциала при значениях параметров  $S = 1/2$ ,  $\omega_e/B = 0.01$ ,  $T = 0.02B$ ,  $q = (\pi, \pi)$ . 1 — точное решение, полученное в [25], 2 — решение в приближении случайных фаз, следующее из формулы (14).

магнитную восприимчивость, а также исследовать характер зависимости восприимчивости от различных параметров системы. Сравнение полученных результатов в частном случае одномерной модели Хаббарда с точным решением одномерной модели Хаббарда в магнитном поле показало, что приближение статических флуктуаций вполне адекватно описывает свойства модели Хаббарда. Предварительные результаты работы были представлены на зимней школе физиков-теоретиков „Коуровка“ [27].

Автор выражает благодарность Р.О. Зайцеву, В.В. Валькову за внимание к работе и обсуждение ее результатов, Р.Р. Нигматуллину за внимание к работе и полезные советы.

## Список литературы

- [1] Г.И. Миронов. ФТТ **39**, 9, 1594 (1997).
- [2] Г.И. Миронов. ФТТ **41**, 6, 951 (1999).
- [3] J. Hubbard. Proc. Roy. Soc. A **276**, 1365, 238 (1963).
- [4] Г.И. Миронов. ФТТ **44**, 2, 209 (2002).
- [5] V.J. Emery. Phys. Rev. Lett. **58**, 26, 2794 (1987).
- [6] E.H. Lieb, F.Y. Wu. Phys. Rev. Lett. **20**, 25, 1445 (1968).
- [7] Т. Мория. Спиновые флуктуации в магнетиках. М. (1988). 287 с.
- [8] Ю.А. Изюмов, Ю.Н. Скрябин. Статистическая механика магнитоупорядоченных систем. М. (1987). 264 с.
- [9] Ю.А. Изюмов. УФН **165**, 4, 403 (1995).
- [10] Ю.А. Изюмов. УФН **167**, 5, 465 (1997).
- [11] N. Bulut. Adv. Phys. **51**, 6 (2002); Cond-mat/0207186.
- [12] E.W. Carlson, V.J. Emery, S.A. Kivelson, D. Orgad. Cond-mat/0206217 (2002).
- [13] E.C. Stoner. Proc. Roy. Soc. A **165**, 372 (1963).
- [14] Р.О. Зайцев. ФТТ **19**, 3204 (1977).
- [15] Р.О. Зайцев. ЖЭТФ **78**, 2362 (1978).
- [16] А.А. Абрикосов. Physics **2**, 1, 5 (1965).
- [17] С.В. Тябликов. Методы квантовой теории магнетизма. М. (1975). 528 с.
- [18] А.А. Абрикосов, Л.П. Горьков, И.Е. Дзялошинский. Методы квантовой теории поля в статистической физике. М. (1962). 443 с.
- [19] S.E. Barnes, J. Zitkova-Wilcox. Phys. Rev. B **7**, 7, 5 (1973).
- [20] J. Kondo. Progr. Theor. Phys. **32**, 1, 38 (1964).
- [21] А.А. Косов, Г.И. Миронов. ФТТ **24**, 2, 583 (1982).
- [22] Г.И. Миронов, Н.Г. Фазлеев. ФНТ **14**, 9, 950 (1988).
- [23] R. Arita et al. Preprint cond-mat/0002441 (2001).
- [24] T. Sasagawa et al. Preprint cond-mat/0208014 (2003).
- [25] C. Yang, A.N. Kocharian, Y.L. Chiang. J. Phys.: Cond. Matter **12**, 7433 (2000).
- [26] M. Takahashi. Progr. Theor. Phys. **47**, 1 (1972).
- [27] Г.И. Миронов, Р.Р. Нигматуллин. Тез. докл. XXX Междунар. зимней школы физиков-теоретиков „Коуровка-2004“. Екатеринбург (2004). С. 190.